

# I-1 皮膜法に関する実験的研究

九州大学 正員 村上 正  
同 同 ○齊藤利一郎  
同 学生員 平野喜三郎

## 多1. まえがき

皮膜法は、実際の構造物の表面に皮膜を施し、下地材料の応力やひずみを光弾性的に検出しようとするもので、下地材料の特性を忠実にとり入れた結果を与えるものとして、特異な研究面をもつたつある。皮膜法において最も重要なのはその材料である。

皮膜材料に要請される性質の中、特に必要な条件は高いひずみ感度を具備していることである。

すなわち、測定しようとする下地材料のひずみの大きさに対応し得るひずみ感度を決定するには、軟化剤(オカール)の配合比を適当に選定する必要がある。

本研究は、1)、高いひずみ感度を得るために良好な配合比の決定。2)、それをアクリライト板を下地とした場合の応力-ひずみ関係を知ることを目的とする。アクリライト板を選んだ理由は、さしありを水によって作った模型による実験を考えているからである。

## 多2. 皮膜作製の手順

ここでは次のようない方法によった。水平を保つように調整した作製盤の上に、離型剤の役目をなすホリエナレンの薄膜を1枚のないようにはりつけ、その表面を清潔にし布でもうなくシリコンパウンドを塗布して離型性を發揮させるように工夫した。

皮膜材料は主剤(エピコート)、硬化剤(ギエナレントリアミン)、軟化剤(オカール)で作られる。本実験では、100:10:0~100の重量比に対し軟化剤の重量比を、10, 20, 30, 40, 50, 60, 70, 100の8種類に変化させた。また主剤の水分と気泡を除去するために、80~90°Cで1時間程熱処理を行った。

次に、自然冷却を行い40~45°Cで硬化剤および軟化剤を入れて攪拌した。

重合熱によって、温度が60~70°Cに上昇したとき、硬化もうらをさけるために下地材料の外周より中心に向って、静かに流しながら。皮膜の厚さは3mmであった。

流れ込んだ皮膜は、5~7時間放置すると、皮膜に適する半硬化の状態になった。適性硬度を知るために測定器(ダイヤルゲージ)を使用した。測定した適性硬度は、30秒間に指針が20~30回移動する位であった。本実験では全てこの半硬化法によった。

## 多3. 反射膜および接着

皮膜法は、通常の光弾性実験(透過法)とは異なり、反射型の装置を使用するため光波のない下地材料を実験するには、反射膜を施さなければならぬ。

ここでは透明なアクリライト板を下地材料に選んだので、皮膜の接着面に反射膜をえた。接着剤は、皮膜材料と同一材質のエポキシ樹脂系を用い、その調合比(重量比)を下記のようにした。

主剤(エピコート828)	100
エポキシ系接着剤の調合比 硬化剤(ギエナレントリアミン)	10
軟化剤(オカール)	50

前節でのべたように、熱処理を行い、重合熱により上昇する温度が48°Cに達したとき、アルミニ

粉末(反射膜用)を混入して練拌し、53°Cに達したときにニホン接着剤として使用した。  
他に速硬化性セメタイン1500も使用してみたが、接着むらを生じ良好な結果は得られなかつた。

### 3.4. 皮膜の主ひずみ感度および光弾性感度

軟化剤(テオコール)の含有量に対する主ひずみ感度の関係を図-1に示す。

ニホンの結果は、単軸応力での単位ひずみにより生ずる等色線  $\beta(\text{mm}^{-1})$   
次数で表まる。ここでは、アクリライト板(3mm)の31張り試験片  
に厚さ3mmの皮膜(10×20mm)を表面に接着し、裏面にはス  
トレンゲージをはって、種々のものについて検出した。

すなわち、単軸応力状態における皮膜に生じるシマ次数の変化は  
青→赤→青→赤の順になって、それに応するそれをストレンゲージ  
で同時に測定した。実験時の温度は20°Cであった。

光弾性感度( $\gamma$ )は、軟化剤の含有量の増減に大きく左右される。  
すなわち、軟化剤が増大するにつれて、感度は減少する。

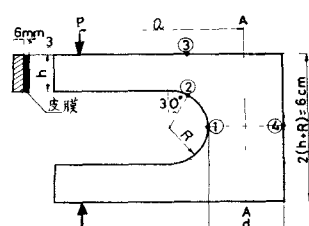
主剤:硬化剤:軟化剤の重量比100:10:10, で  $\gamma=0.90 \text{ mm/kg}$   
に対し、100:10:50では、 $\gamma$ は半分以下に低下することしかかつた。ニホンのことから明らかなこととは、軟化剤を増すと、  
最大ひずみは増加するが、光弾性感度は減少する。したがつて、測定しようとする下地材料のひずみ  
が大きい場合には、10:70位が良好で、下地材料のひずみが比較的小さい場合には、10:0の重量比  
にした方がよいと思われる。

### 3.5. 実験の概要(アクリライト板に皮膜を使用した場合)

皮膜の主ひずみ感度および光弾性感度の中、重量比100:10:10の場合について、主ひずみ感度、  
 $\beta=278 \text{ mm}^{-1}$ ,  $\gamma=0.91 \text{ mm/kg}$  を採用して、下地材料のアクリライト板(6mm)に皮膜を接着  
した。通常の光弾性法と異なりシマ次数の観察は容易でない。

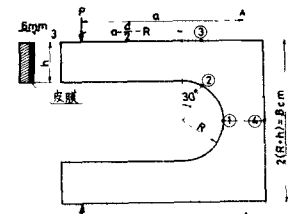
ここでは1つの試験にて、図-2, 3のような平面問題を選んで、応力状態を観察することにした。  
図-2の場合を実験I(No.1~No.3), 図-3の場合を(No.1~No.4)と名づける。

市販されている反射型の装置では、光源に無理があるので、肉眼でのシマ次数(0次)の観測は不可能であつたので、通常の透過装置を反射型にならうように配置して、これによつてます0次のシマを記録し、つて反射型にてシマ撮影に移つた。シマのコントラストをつけるためにラッピング3個を使用した。



NO	a	R=h	$\frac{a}{2R} = \frac{a}{2h}$	P
1	8 cm	1.5 cm	2.67	10.5 kg
2	7	≈	2.33	12.0
3	6	≈	2.00	14.0

図-2.



NO	a	$d=R=h$	$\frac{a}{2(R+h)} = \frac{a}{2h}$	$a-\frac{d}{2}-R$	P
1	8 cm	2.0 cm	0.625	5.0 cm	5.25 kg
2	7	2.0	0.500	4.0	6.00
3	6	2.0	0.375	3.0	7.00
4	5	2.0	0.250	2.0	8.00

図-3.

荷重は試験片の A-A 断面のモーメント (P·a) が一定になるように選んだ。

図-2, 3 の番号①, ②, ③, ④ は予備実験(透通法)により応力状態の高まる位置を示し、角度  $30^\circ$  は、内部に生ずる0次を定める角度である。

### 2.6. 実験の結果

#### (1). 実験 I (図-2),

皮膜法の光弾性法則は、透通法のそれとは異なって、皮膜のシマ次数  $N$  は、主ひずみ差、および主応力差に比例する。

写真-1 は NO. 2 ( $a=7\text{cm}$ ) の等色線写真的例であるがこれで見るよう、シマ次数の読み取りが容易ではない。

図-4 は、図-2 の点 ①, ②, ③ の主ひずみをシマ次数単位で示し、理論値と比較したものである。

図に明かのように、①では実験値の方が 2~3 次程度高まっている。

②, ③ では、実験値の方が低く、安全側にしている。

③だけを比較すると載荷点の位置の変化に關係なく、NO. 1 ~ 3 も同じシマ次数が認められる。これは曲げの影響が入らなくなることを意味する。

図-5 は、NO. 2 (写真-1) の縁辺のひずみをシマ次数単位で示したものである。

観察し得る最高シマ次数のプロットを 8 次で打ち切った。

NO. 1, NO. 3 とともに傾向の分布曲線になるとが NO. 3 が最も低いシマ次数分布を示した。

図-6 は、NO. 1 ~ 3 の各点 ① ~ ④ の応力係数(実験値と理論値との比)をそれぞれ  $K_1 \sim K_4$  として示したものである。

図中、 $\sigma_1/\sigma_4, \sigma_2/\sigma_3$  は理論応力の比である。

各点 ① ~ ④ の係数を比較するに、係数が 1.0 に近いもの程、理論値に近くなることを意味する。

#### (2). 実験 II (図-3)

写真-2 は NO. 1 の

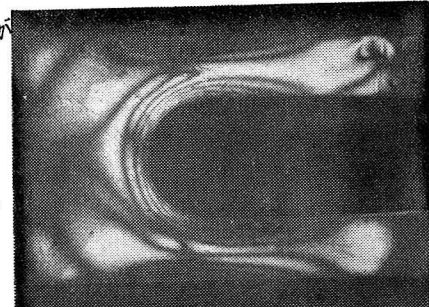


写真-1

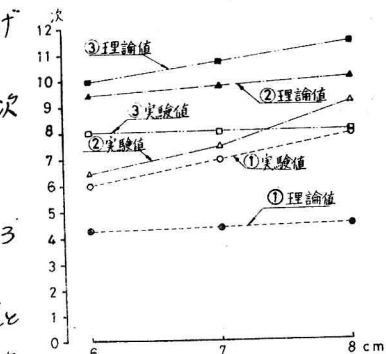


図-4

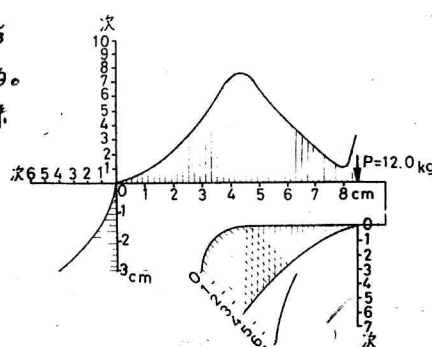


図-5.

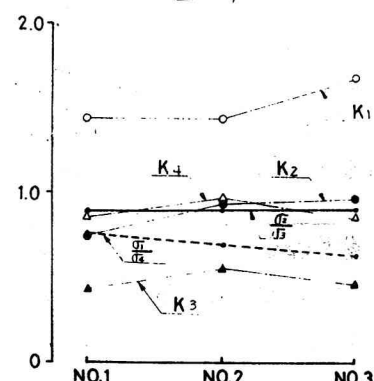


図-6

等色線写真の例である。0次が明しかでないが、前節の方法によつて、その位置を定めシマ次数を読みとつた。

図-7に理論値との比較を示す。載荷点の位置が変化しても、著しく高まるシマ次数は認められず、理論値とよく接近している。

図-8に応力係数と試験片の点①, ②, ③, ④との関係を示す。図に明らかのように、NO.2は大きな変化ではなく、皮膜の配合比 100:10:10 が下地材料の応力といすみの良好な比例関係にあると思われる。

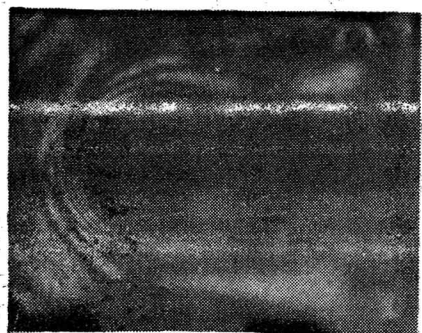


写真-2

#### タテ むすみ

(1). 主ひすみ感度  $\beta$  は、軟化剤の配合比によって大きい変化を示し、軟化剤(ナオユール)の含有量が増大すると光弾性感度が低下する。

(2). すなわち、軟化剤の含有量は、測定しようとする下地材料のひすみの大小によって変え、大きい場合には、重量比 10~70 のものがよいと思われる。

(3). 下地材料のひすみが小さい場合には 重量比 10~0 のものが良好である。

(4). アクリライト(アクリル硬度 23~26)またはアルミニウムの硬度のものには 100:10:10 の重量比であれば充分シマ次数の分布が観察できる。

#### 付記

以上は、本実験の範囲から得た結果である。  
初めての試験であるから、装置においても、材料においても、さうに改良、工夫の余地があることはもちろんであるが、大よその見当はつけ得るに思うので報告する次第である。

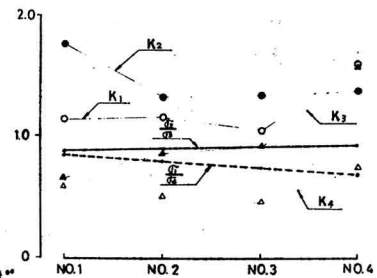


図-8

#### 参考文献

- 1). M. M. Arocht; Photo-elasticity Vol. 1. 2, 1948.
- 2). S. Smith; Advanced Mechanics of Materials 2nd edition, 1952.